

# ОСОБЕННОСТИ ЗАТУХАНИЯ КВАЗИЧАСТИЦ В ДВУМЕРНЫХ ЭЛЕКТРОННЫХ СИСТЕМАХ СО СПИН-ОРБИТАЛЬНЫМ ВЗАИМОДЕЙСТВИЕМ

**И. А. Нечаев<sup>a,b\*</sup>, В. М. Силкин<sup>c,d,e,f</sup>, Е. В. Чулков<sup>c,d,g</sup>**

<sup>a</sup> Костромской государственный университет им. Н. А. Некрасова  
156961, Кострома, Россия

<sup>b</sup> Научно-образовательный центр «Физика и химия высокoenергетических систем»  
Томского государственного университета  
634050, Томск, Россия

<sup>c</sup> Departamento de Física de Materiales, Facultad de Ciencias Químicas, UPV/EHU  
and Centro Mixto CSIC-UPV/EHU, Apdo. 1072  
20080, San Sebastián, Basque Country, Spain

<sup>d</sup> Donostia International Physics Center (DIPC)  
20018, San Sebastián, Basque Country, Spain

<sup>e</sup> IKERBASQUE, Basque Foundation for Science  
48011, Bilbao, Spain

<sup>f</sup> Томский политехнический университет  
634050, Томск, Россия

<sup>g</sup> Centro de Física de Materiales CFM-MPC, Centro Mixto (CSIC-UPV/EHU)  
20018, San Sebastián, Spain

Поступила в редакцию 28 января 2010 г.

В рамках  $G^0W^0$ -приближения исследуется зависимость от волнового вектора и энергии возбуждения ширины спектральной функции электронов и дырок в двумерной электронной системе со спин-орбитальным взаимодействием, обусловленным структурной инверсионной асимметрией. В случае низкой электронной плотности показано, что появляется дополнительный по отношению к рождению электрон-дырочных пар канал затухания дырок за счет эмиссии плазмона. В области электронных возбуждений проявляет себя заметная спиновая асимметрия ширины спектральной функции.

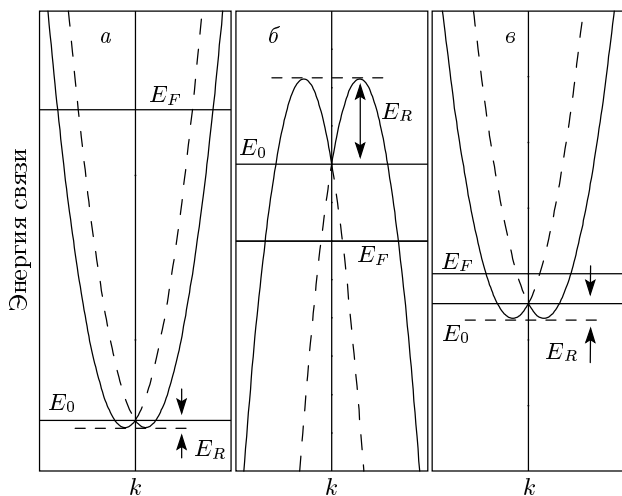
## 1. ВВЕДЕНИЕ

В настоящее время спин-орбитальное взаимодействие представляет собой одно из базовых явлений, используемых в интенсивно развивающемся новом направлении прикладной физики — спиновой электронике (спинтронике). Наибольший практический интерес в этом направлении вызывают двумерные электронные системы, образуемые, например, электронами поверхностных состояний металлов и упорядоченных поверхностных сплавов или электрона-

ми в квантовых ямах полупроводниковых гетероструктур. В таких системах наиболее ярко проявляется себя спин-орбитальное взаимодействие, вызванное структурной инверсионной асимметрией (так называемый вклад Рашибы [1]). Величиной вклада Рашибы можно управлять с помощью стехиометрии поверхностного сплава [2] или приложенным внешним электрическим полем [3, 4].

Наиболее обсуждаемыми процессами при рассмотрении динамики электронов и дырок в двумерных электронных системах со спин-орбитальным взаимодействием являются спиновая релаксация и расфазировка спинов. Соответствующие характер-

\*E-mail: ianechaev@mail.ru



**Рис. 1.** Схематическое представление расщепленного спин-орбитальным взаимодействием энергетического спектра, характерного для поверхностей благородных металлов и квантовых ям гетероструктур (a), упорядоченных поверхностных сплавов (б), а также рассматриваемого в работе случая a при низкой электронной плотности (в)

ные времена этих процессов поэтому достаточно хорошо изучены [5]. Однако такое важное свойство квазичастиц, как их время жизни, обусловленное неупругим электрон-электронным рассеянием, остается недостаточно изученным для указанных систем. Эта величина, обратно пропорциональная ширине квазичастичной спектральной функции, традиционно играет значимую роль в явлениях, основанных на когерентном транспорте. Совместно со скоростью квазичастиц время жизни определяет длину свободного пробега — важную характеристику динамики квазичастиц [6].

В модели Рашбы степень влияния спин-орбитального взаимодействия на энергетический спектр двумерной системы характеризуется энергией  $E_R \equiv m^* \alpha^2 / 2$  (здесь и далее используется атомная система единиц, т. е.  $e^2 = \hbar = m_e = 1$ ), где  $m^*$  — эффективная масса электрона, а  $\alpha$  определяет величину вклада спин-орбитального взаимодействия. В большинстве известных систем энергия Рашбы  $E_R$  много меньше чем  $\Delta E = E_F - E_0$ , где  $E_F$  — энергия Ферми, а  $E_0$  — энергия состояния электрона при  $|\mathbf{k}| = 0$ , где  $\mathbf{k}$  — двумерный волновой вектор электрона (см. рис. 1a). Проведенные для таких систем исследования показали, что в окрестности  $E_F$  влияние спин-орбитального взаимодействия на энергетическую зависимость времени жизни

квазичастиц может рассматриваться как малый параметр теории возмущений [7]. В целом это влияние достаточно слабо, и на всем энергетическом интервале оно наиболее заметно при удалении от  $E_F$  в области, где в соответствии с законом сохранения энергии-импульса возможен плазмонный канал затухания возбужденных электронов [8–10].

Недавно [11, 12] был обнаружен целый класс перспективных для спинtronики материалов, в которых легирование тяжелыми элементами (Sb, Pb и Bi) поверхности слоя благородных металлов (Ag, Cu) приводит к образованию двумерной системы с гигантским спиновым расщеплением (см. рис. 1б). По аналогии с указанными выше системами, данную можно рассматривать как двумерную дырочную систему с отрицательной эффективной массой, где  $E_R \sim \Delta E$ . Для анализа того, к каким эффектам может привести такое соотношение энергий в случае ранее изученных систем, в настоящей работе рассматривается двумерная электронная система с низкой электронной плотностью (см. рис. 1в). В качестве прототипа такой системы выбирается расщепленное спин-орбитальным взаимодействием поверхностное состояние на поверхности Au(111), которая характеризуется наибольшим среди благородных металлов значением параметра  $\alpha$ . Изучение проводится как в рамках модели двумерного электронного газа со спин-орбитальным взаимодействием Рашбы (подобно работе [8]), так и в более реалистичной модели повторяющихся тонких пленок с использованием одномерного потенциала (как и в работе [9]). Так же, как и в указанных работах, мнимая часть собственной энергии, определяющая ширину спектральной функции квазичастиц, находится в рамках  $G^0W^0$ -приближения. Это приближение представляет собой одну из реализаций подхода, где ограничиваются рассмотрением первого члена разложения собственно-энергетической части в ряд по степеням динамически экранированного кулоновского потенциала [13, 14]. За последнее десятилетие этот подход получил широкое распространение, и сегодня он представляет собой один из самых точных методов описания энергетического спектра большого класса систем [15–17].

## 2. ПРИБЛИЖЕНИЯ

В модели двумерного электронного газа исследуемая нами система описывается гамильтонианом  $H = H_0 + H_{so}$ , где  $H_0 = k^2 / 2m^*$ , а слагаемое  $H_{so} = \alpha (\sigma_x k_y - \sigma_y k_x)$  обусловлено наличием спин-орби-

тального взаимодействия Рашбы. Здесь  $k_{x,y}$  представляют собой компоненты вектора  $\mathbf{k}$ ,  $\sigma_{x,y}$ -матрицы Паули. Представленный гамильтониан может быть диагонализован,  $H' = U_{\mathbf{k}}^{\dagger} H U_{\mathbf{k}}$ , с помощью унитарного преобразования  $U_{\mathbf{k}} = \exp(i\boldsymbol{\sigma} \cdot \mathbf{n}_{\mathbf{k}}\pi/4)$ , индуцирующего поворот оси квантования спина  $\mathbf{u}_{\mathbf{k}}$  на угол  $\pi/2$  вокруг оси  $\mathbf{n}_{\mathbf{k}} = i\cos\varphi_{\mathbf{k}} + j\sin\varphi_{\mathbf{k}}$ , где  $\varphi_{\mathbf{k}}$  — полярный угол вектора  $\mathbf{k}$ . В результате  $H'_{so} = -k\alpha\sigma_z$ , а расщепленный спин-орбитальным взаимодействием энергетический спектр запишется как (отсчет от  $E_0$ )

$$E_{\mathbf{k}s} = \frac{\mathbf{k}^2}{2m^*} + sk\alpha. \quad (1)$$

Соответствующие волновые функции  $\psi'_{\mathbf{k}s}(\mathbf{r}) = e^{i\mathbf{k}\mathbf{r}}|s\rangle$ , где индекс подзоны  $s = \pm(\downarrow, \uparrow)$ . Здесь  $\downarrow, \uparrow$  обозначают спиновые компоненты в новом спиновом базисе. В первоначальном базисе волновые функции  $\psi_{\mathbf{k}s}(\mathbf{r}) = U_{\mathbf{k}}\psi'_{\mathbf{k}s}(\mathbf{r})$ , а ориентация спина в  $\mathbf{k}$ -пространстве определится как

$$\langle \psi_{\mathbf{k}s} | \boldsymbol{\sigma} | \psi_{\mathbf{k}s} \rangle = s \begin{pmatrix} \sin\varphi_{\mathbf{k}} \\ -\cos\varphi_{\mathbf{k}} \\ 0 \end{pmatrix}, \quad (2)$$

отражая тот факт, что направление спина электрона связано с направлением его импульса.

Ширина квазичастичной спектральной функции и, следовательно, ширина линии энергетического спектра, обусловленная неупругим электрон-электронным рассеянием, определяется мнимой частью матричных элементов квазичастичной собственной энергии

$$\langle \Sigma_s(\mathbf{k}, \omega) \rangle = \langle \psi_{\mathbf{k}s}(\mathbf{r}_1) | \Sigma(\mathbf{r}_1, \mathbf{r}_2; \omega) | \psi_{\mathbf{k}s}(\mathbf{r}_2) \rangle_{\mathbf{r}_1 \mathbf{r}_2}$$

при энергии  $\omega = E_{\mathbf{k}s}$  как

$$\Gamma_s(\mathbf{k}) = 2|\text{Im}\langle \Sigma_s(\mathbf{k}, E_{\mathbf{k}s}) \rangle|.$$

Эта величина связана с временем жизни квазичастиц  $\tau_s$  соотношением неопределенности для энергии и времени:  $\Gamma_s \tau_s = 1$  ат. ед. = 658 мэВ · фс. Как и в работах [8–10], в настоящей работе используется  $G^0W^0$ -приближение, в рамках которого указанные матричные элементы имеют следующий вид:

$$\begin{aligned} \text{Im}\langle \Sigma_s(\mathbf{k}, \omega) \rangle &= - \sum_{s'} \int \frac{d\mathbf{q}}{(2\pi)^2} F_{\mathbf{k}, \mathbf{q}}^{ss'} f_{\mathbf{q}s'} \times \\ &\times \text{Im} W^0(\mathbf{k} - \mathbf{q}, \omega - E_{\mathbf{q}s'}) \theta(E_{\mathbf{q}s'} - \omega) \end{aligned} \quad (3)$$

при  $\omega < E_F$  и

$$\begin{aligned} \text{Im}\langle \Sigma_s(\mathbf{k}, \omega) \rangle &= \sum_{s'} \int \frac{d\mathbf{q}}{(2\pi)^2} F_{\mathbf{k}, \mathbf{q}}^{ss'} [1 - f_{\mathbf{q}s'}] \times \\ &\times \text{Im} W^0(\mathbf{k} - \mathbf{q}, \omega - E_{\mathbf{q}s'}) \theta(\omega - E_{\mathbf{q}s'}) \end{aligned} \quad (4)$$

при  $\omega > E_F$ . В этих уравнениях  $\theta(x)$  — ступенчатая функция, а  $f_{\mathbf{q}s'}$  — фермиевская функция распределения. Факторы  $F_{\mathbf{k}, \mathbf{p}}^{ss'} = [1 + ss' \mathbf{u}_{\mathbf{k}} \cdot \mathbf{u}_{\mathbf{p}}]/2$  появляются из  $|\langle s' | U_{\mathbf{p}}^{\dagger} U_{\mathbf{k}} | s \rangle|^2$  и отражают изменение спинового базиса. Экранированный кулоновский потенциал  $W^0(\mathbf{q}, \omega) = v_c(\mathbf{q}) [1 - P^0(\mathbf{q}, \omega) v_c(\mathbf{q})]^{-1}$  определяется найденным в приближении хаотических фаз поляризационным оператором

$$\begin{aligned} P^0(\mathbf{q}, \omega) &= \sum_{ss'} \int \frac{d\mathbf{k}}{(2\pi)^2} F_{\mathbf{k}, \mathbf{k}+\mathbf{q}}^{ss'} \times \\ &\times \left\{ \frac{(1 - f_{\mathbf{k}+\mathbf{q}s}) f_{\mathbf{k}s'}}{\omega + E_{\mathbf{k}s'} - E_{\mathbf{k}+\mathbf{q}s} + i\eta} - \right. \\ &\left. - \frac{f_{\mathbf{k}+\mathbf{q}s}(1 - f_{\mathbf{k}s'})}{\omega + E_{\mathbf{k}s'} - E_{\mathbf{k}+\mathbf{q}s} - i\eta} \right\}. \end{aligned} \quad (5)$$

В последнем уравнении  $\eta$  — бесконечно малая величина, характеризующая способ обхода полюсов при интегрировании. Для вычисления  $P^0(\mathbf{q}, \omega)$  используется схема работы [18]. Присутствующее в  $W^0$  кулоновское взаимодействие  $v_c(\mathbf{q}) = 2\pi/(|\mathbf{q}|\varepsilon_0)$  ослаблено средой, в которую «погружен» двумерный электронный газ. Здесь  $\varepsilon_0$  — диэлектрическая константа среды.

Приемлемость использования как приближения хаотических фаз, так и  $G^0W^0$ -приближения в рассматриваемом нами случае определяется значением такой величины, как электронный радиус Вигнера–Зейтца  $r_s = m^*/(\varepsilon_0 \sqrt{\pi n_{2D}})$ , где  $n_{2D}$  — плотность двумерной электронной системы. Для исследуемого в работе двумерного электронного газа (см. ниже)  $r_s = 2.0$ , что достаточно далеко от сильнокоррелированного режима, который наблюдается, например, в такой двумерной электронной системе как Si-MOSFET (металл-оксидный полевой транзистор на кремнии) [19]. Однако даже для подобных систем с существенно большим  $r_s$  указанные приближения способны описать экспериментальные зависимости без учета вершинных поправок к  $P^0$  и к собствено-энергетической части  $G^0W^0$ -приближения (см., например, работы [20, 21]).

В данной работе также используется модель повторяющихся тонких пленок с одномерным псевдопотенциалом [22], воспроизводящим «реальный» потенциал пленки в  $z$ -направлении, перпендикулярном ее поверхности (см. работу [23]). Такой потенциал позволяет достаточно точно описать положение энергетических уровней в центре поверх-

ностной зоны Бриллюэна. Дисперсия уровней восстанавливается с помощью параболических зависимостей с различными эффективными массами, которые подбираются таким образом, чтобы получить экспериментально наблюдаемые характеристики электронной структуры поверхности. Указанный подход делает возможным исследование динамики квазичастиц на металлической поверхности в рамках  $G^0W^0$ -приближения. В работе [24] такое исследование позволило устранить значительное расхождение между экспериментальными и теоретическими значениями времени жизни дырок в поверхностном состоянии на поверхности благородных металлов. Результаты, хорошо согласующиеся с экспериментальными данными, были получены и в случае незанятых поверхностных состояний и состояний потенциала изображения [25, 26], а также состояний квантовой ямы [27–29]. Использование метода тонких пленок с одномерным псевдопотенциалом также делает возможным изучение в рамках  $G^0W^0$ -приближения величины  $\Gamma_s(\mathbf{k})$  для поверхностных состояний металлических тонких пленок уже с учетом спин-орбитального взаимодействия. Это обусловлено минимальной модификацией приведенных выше соотношений, вызванной учетом поведения волновой функции электрона в  $z$ -направлении (см. работу [9] и ссылки в ней).

### 3. РЕЗУЛЬТАТЫ И ОБСУЖДЕНИЕ

В модели двумерного электронного газа со спин-орбитальным взаимодействием Рашибы эффективную массу  $m^* = 0.25$  и параметр  $\alpha = 3.7 \cdot 10^{-11}$  эВ · м, определяющий величину вклада Рашибы, выбираем, как и в работе [8], при моделировании двумерной электронной системы с плотностью  $n_{2D} \approx 5.1 \cdot 10^{13}$  см $^{-2}$ , образованной электронами поверхностного состояния на поверхности Au(111). Диэлектрическая константа среды в данном случае  $\epsilon_0 = 16.0$  (см. работу [8]). Для реализации случая  $E_R \sim \Delta E$  в данной работе мы «уменьшили» электронную плотность  $n_{2D}$  в 70 раз.

На рис. 2 представлены результаты расчетов ширины спектральной функции квазичастиц  $\Gamma_s(\mathbf{k})$ , проведенных для двумерного электронного газа, характеризуемого указанными выше параметрами. Анализируя  $\Gamma_s$  как функцию  $k$ , отметим, во-первых, сдвиг кривых  $\Gamma_+$  и  $\Gamma_-$  друг относительно друга на величину, задаваемую разницей между векторами Ферми  $k_F^s = k_F - sm^*\alpha$ , где  $k_F = \sqrt{2m^*E_F + (m^*\alpha)^2}$ . Во-вторых, в области дырочных

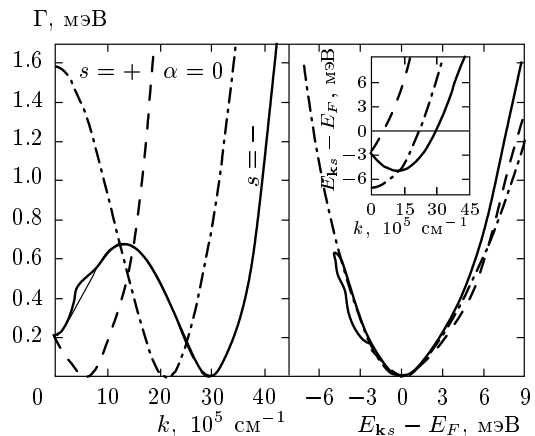
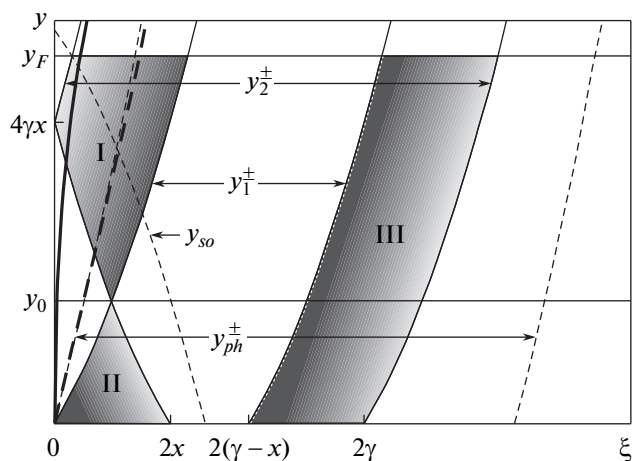


Рис. 2. Ширина  $\Gamma_s$  как функция модуля волнового вектора (слева) и как функция энергии возбуждения (справа) в двумерном электронном газе со спин-орбитальным взаимодействием Рашибы. Сплошная линия (штриховая) изображает рассчитанную  $\Gamma_-$  ( $\Gamma_+$ ). Тонкая сплошная линия соответствует  $\Gamma_-(k)$ , найденной без учета плазмонного канала затухания дырочных возбуждений. Для сравнения штрихпунктирная линия отображает поведение ширины спектральной функции в двумерном электронном газе с той же электронной плотностью, но без спин-орбитального взаимодействия ( $\alpha = 0$ ). На вставке — энергетический спектр рассматриваемых систем

ших возмущений при  $k < m^*\alpha$  (меньше радиуса кольца экстремумов, где  $E_{\mathbf{k}-}$  достигает минимума) у  $\Gamma_-$  наблюдается «наплыв», обусловленный появлением дополнительного по отношению к рождению электрон-дырочных пар канала затухания за счет эмиссии плазмона. Действительно, как подробно показано на рис. 3, плазмонная ветвь (жирная сплошная линия) входит в область I, соответствующую допустимым переходам с одной подзоны на другую. Это означает, что для некоторых таких переходов в соответствии с законом сохранения энергии-импульса возможен плазмонный канал затухания квазичастиц. Отметим, что вклад этого канала в ширину  $\Gamma_-$  в области дырочных возбуждений уменьшается как при ослаблении спин-орбитального взаимодействия Рашибы, так и при приближении уровня Ферми к  $E_0$ , т. е. при исчезновении области I (как и в гипотетическом случае работы [9]), или наоборот при значительном повышении  $E_F$  (как в случае поверхностного состояния на Au(111), рассмотренного в работе [8]). При отсутствии спин-орбитального взаимодействия в двумерном электронном газе плазмонный канал затухания возможен лишь для возбужденных электронов [30].



**Рис. 3.** Спектр плазмона (двумерного — жирная сплошная линия, акустического поверхностного — жирная штриховая линия) и границы области рождения электрон-дырочных пар (штриховые тонкие линии), включая нижнюю границу дополнительной области затухания Ландау (см. работу [18]), для двумерного электронного газа со спин-орбитальным взаимодействием Рашбы. Тонкие сплошные линии ограничивают области допустимых значений аргументов у мнимой части потенциала экранированного кулоновского взаимодействия  $\text{Im } W^0(\xi k_F, y k_F^2/2m^*)$  при интегрировании в соотношении, определяющем  $\Gamma_s(k)$  для  $s = -$  и  $k < m^* \alpha$ . Область I соответствует переходам с подзонами  $s = -$  в подзону  $s' = +$ , тогда как области II и III — переходам с подзоны  $s = -$  в подзону  $s' = -$ . Полутоновым изображением представлен контурный график факторов  $F^{ss'}$ , изменяющихся от нуля (белый) до единицы (темно-серый). Используемые обозначения:  $\gamma = m^* \alpha / k_F$ ,  $x = k / k_F$ ,  $y_{ph}^\pm = \xi^2 \pm 2\xi$ ,  $y_{so} = -(\xi + 2\gamma)^2 + 2(\xi + 2\gamma)$ ,  $y_0 = 2\gamma x - x^2$ ,  $y_F = 1 - \gamma + y_0$ ,  $y_1^\pm = \xi^2 \pm 2\xi(\gamma - x)$ ,  $y_2^\pm = \xi^2 \pm 2\xi(\gamma + x) + 4\gamma x$

Устанавливая связь между  $\Gamma_s(\mathbf{k})$  и  $E_{\mathbf{k}s}$  через вектор  $\mathbf{k}$  и получая ширину спектральной функции как функцию энергии возбуждения, можно судить о зависимости этой величины от индекса подзоны  $s$ , т. е. от направления спина в выбранном (в силу анизотропии — в любом) направлении вектора  $\mathbf{k}$ . На рис. 2 хорошо видно, что такая зависимость проявляется в превышении единицы отношения  $\Gamma_-/\Gamma_+$  (в среднем на 0.12 в исследуемом интервале электронных возбуждений). Таким образом, благодаря спиновому расщеплению, обусловленному наличием спин-орбитального взаимодействия, наблюдается заметная спиновая асимметрия ширины спектральной

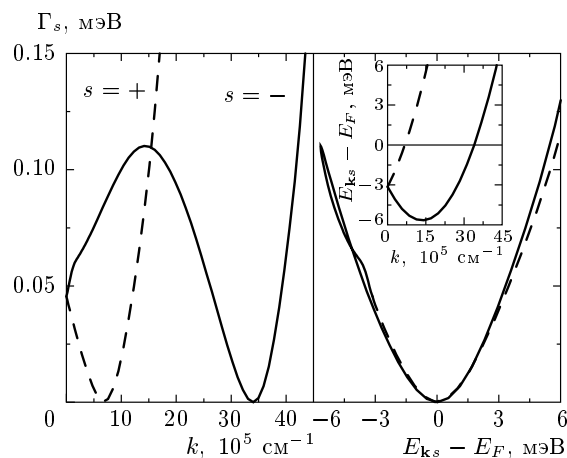
функции и, как следствие, длины свободного пробега возбужденных электронов. Отметим, что этот эффект существенно слабее в системах с такой же энергией  $E_R$ , но много большей энергией Ферми (см. работу [8]).

Рассматриваемая ситуация, в принципе, может быть реализована на практике путем модификации энергии и величины спинового расщепления поверхностного состояния металлов (см., например, работы [2, 31]). В этом случае роль низкоэнергетических коллективных возбуждений будет играть недавно предсказанный теоретически [23, 32] и обнаруженный экспериментально [33] акустический поверхностный плазмон. Здесь также можно ожидать появления дополнительного канала затухания дырочных возбуждений за счет эмиссии указанного плазмона.

Для проверки этого предположения рассмотрим, как и в работе [9], в рамках метода повторяющихся пленок поверхность Au(111) с «измененной» энергией расщепленного спин-орбитальным взаимодействием поверхностного состояния  $E_0 \approx -3$  мэВ (уровень Ферми всей системы принят за начало отсчета энергетической шкалы). Таким значением  $E_0$  мы воспроизводим ситуацию, когда  $E_R \sim \Delta E$ . Полученная для такой «модифицированной» поверхности дисперсия низкоэнергетических поверхностных плазменных колебаний (акустического поверхностного плазмона) представлена на рис. 3 жирной штриховой линией. Из рисунка следует, что плазмонный канал затухания дырок начнет проявлять себя при меньших  $k$  (а следовательно,  $x$ ), чем в случае двумерного электронного газа, рассмотренного выше. Это обусловлено тем, что, начиная с малых значений импульса передачи  $\xi k_F$ , дисперсионная кривая указанного плазмона будет находиться достаточно «глубоко» в области I. Однако при этом ветвь акустического поверхностного плазмона почти сразу «входит» в область рождения электрон-дырочных пар, что приводит к существенному увеличению ширины линии плазмона. Это означает, что именно при малых  $k$  и должен заметно проявить себя плазмонный канал затухания дырок, что и наблюдается в ширине  $\Gamma_s$ , представленной на рис. 4.

#### 4. ЗАКЛЮЧЕНИЕ

В работе в рамках  $G^0W^0$ -приближения рассмотрена ширина спектральной функции квазичастиц в двумерной электронной системе со спин-орбитальным взаимодействием, обусловленная неупру-



**Рис. 4.** Ширина  $\Gamma_s$  как функция модуля волнового вектора (слева) и как функция энергии возбуждения (справа) для поверхностного состояния «модифицированной» поверхности Au(111). Сплошные (штриховые) линии соответствуют  $\Gamma_-$  ( $\Gamma_+$ ). На вставке — дисперсия поверхностного состояния, расщепленного спин-орбитальным взаимодействием Рашбы

гим электрон-электронным рассеянием. Спин-орбитальное взаимодействие учтено в рамках модели Рашбы. В качестве объектов исследования были рассмотрены двумерные электронные системы, обраzuемые электронами поверхностных состояний на металлической поверхности, с низкой электронной плотностью с целью моделирования ситуации, когда энергия Рашбы  $E_R \sim \Delta E$ , что наблюдается в поверхностных сплавах — новом классе материалов для спинtronики. Проведенные вычисления показали, что вследствие наличия спинового расщепления энергетического спектра, вызванного спин-орбитальным взаимодействием, появляется дополнительный по отношению к рождению электрон-дырочных пар канал затухания дырок за счет эмиссии плазмона. Это указывает на возможный путь исследования предсказанных теоретически и недавно обнаруженных экспериментально низкоэнергетических плазменных колебаний на металлических поверхностях.

В области электронных возбуждений проявляет себя спиновая асимметрия ширины спектральной функции, а следовательно, и длины свободного пробега. Известно, что различие в длинах свободного пробега для электронов со спином «вверх» и электронов со спином «вниз» составляет основу эффекта спинового фильтра, наблюдавшегося в транспорте возбужденных электронов через ферромагнетики (см. обзоры [5, 34]). В рассмотренных случа-

ях спиновая асимметрия, определяемая величиной вклада Рашбы, существенно меньше, чем в ферромагнетиках (см., например, работу [35]). Однако, например, в квантовых ямах полупроводниковых гетероструктур, где ожидаются такие же особенности в затухании квазичастиц при соотношении  $E_R \sim \Delta E$ , величина спиновой асимметрии может управляться внешним электрическим полем.

До непосредственных вычислений свойств квазичастиц в поверхностных сплавах, что представляет собой отдельную и труднорешаемую в настоящее время задачу, полученные данные могут служить предсказанием возможных механизмов затухания квазичастиц в таких системах. В силу гигантского спинового расщепления поверхностных состояний в поверхностных сплавах ожидается значительное усиление обнаруженных особенностей.

Работа выполнена при частичной финансовой поддержке Федерального агентства по науке и инновациям Министерства образования и науки РФ (госконтракт № 02.740.11.5098 от 5 октября 2009), университета Страны басков (проект GV-UPV/EHU, грант № IT-366-07), а также Министерства науки и технологий Испании (грант № FIS2007-66711-C02-01). Расчеты проводились на суперкомпьютере СКИФ-Cyberia Томского государственного университета, а также на вычислительном кластере Костромского государственного университета им. Н. А. Некрасова.

## ЛИТЕРАТУРА

1. Э. И. Рашба, ФТТ **2**, 1224 (1960); Ю. А. Бычков, Э. И. Рашба, Письма в ЖЭТФ **39**, 66 (1984); J. Phys. C **17**, 6039 (1984).
2. C. R. Ast, D. Pacilé, L. Moreschini et al., Phys. Rev. B **77**, 081407(R) (2008).
3. S. Datta and B. Das, Appl. Phys. Lett. **56**, 665 (1990).
4. M. Studer, G. Salis, K. Ensslin et al., Phys. Rev. Lett. **103**, 027201 (2009).
5. I. Žutić, J. Fabian, and S. Das Sarma, Rev. Mod. Phys. **76**, 323 (2004).
6. E. V. Chulkov, A. G. Borisov, J. P. Gauyacq et al., Chem. Rev. **106**, 4160 (2006).
7. D. S. Saraga and D. Loss, Phys. Rev. B **72**, 195319 (2005).
8. И. А. Нечаев, Е. В. Чулков, ФТТ **51**, 1672 (2009).

9. I. A. Nechaev, M. F. Jensen, E. D. L. Rienks et al., Phys. Rev. B **80**, 113402 (2009).
10. I. A. Nechaev, P. M. Echenique, and E. V. Chulkov, Phys. Rev. B **81**, 195112 (2010).
11. C. R. Ast, J. Henk, A. Ernst et al., Phys. Rev. Lett. **98**, 186807 (2007).
12. H. Mirhosseini, J. Henk, A. Ernst et al., Phys. Rev. B **79**, 245428 (2009).
13. L. Hedin, Phys. Rev. **139**, A796 (1965).
14. F. Aryasetiawan and S. Biermann, Phys. Rev. Lett. **100**, 116 402 (2008).
15. W. G. Aulbur, L. Jönsson, and J. Wilkins, in *Solid State Physics*, ed. by H. Ehrenreich and F. Spaepen, Academic Press, New York (2000), Vol. 54, p. 1.
16. M. van Schilfgaarde, T. Kotani, and S. Falaleev, Phys. Rev. Lett. **96**, 226402 (2006).
17. F. Bruneval, Phys. Rev. Lett. **103**, 176403 (2009).
18. M. Pletyukhov and V. Gritsev, Phys. Rev. B **74**, 045307 (2006).
19. A. A. Shashkin, A. A. Kapustin, E. V. Deviatov et al., J. Phys. A: Math. Theor. **42**, 214010 (2009).
20. E. H. Hwang and S. Das Sarma, Phys. Rev. B **64**, 165409 (2001).
21. Y. Zhang and S. Das Sarma, Phys. Rev. B **71**, 045322 (2005); **72**, 075308 (2005).
22. E. V. Chulkov, V. M. Silkin, and P. M. Echenique, Surf. Sci. **391**, L1217 (1997); **437**, 330 (1999).
23. V. M. Silkin, J. M. Pitarke, E. V. Chulkov, and P. M. Echenique, Phys. Rev. B **72**, 115435 (2005).
24. J. Kliewer, R. Berndt, E. V. Chulkov et al., Science **288**, 1399 (2000).
25. A. Schäfer, I. L. Shumay, M. Wiets et al., Phys. Rev. B **61**, 13159 (2000).
26. W. Berthold, U. Höfer, P. Feulner et al., Phys. Rev. Lett. **88**, 056805 (2002).
27. E. V. Chulkov, J. Kliewer, R. Berndt et al., Phys. Rev. B **68**, 195422 (2003).
28. I-Po Hong, C. Brun, F. Patthey et al., Phys. Rev. B **80**, 081409(R) (2009).
29. A. Zugarramurdi, N. Zabala, V. M. Silkin et al., Phys. Rev. B **80**, 115425 (2009).
30. G. F. Giuliani and G. Vignale, *Quantum Theory of the Electron Liquid*, Cambridge University Press, Cambridge (2005).
31. H. Bentmann, F. Forster, G. Bihlmayer et al., Europhys. Lett. **87**, 37003 (2009).
32. V. M. Silkin, A. García-Lekue, J. M. Pitarke et al., Europhys. Lett. **66**, 260 (2004).
33. B. Diaconescu, K. Pohl, L. Vattuone et al., Nature (London) **448**, 57 (2007).
34. В. П. Жуков, Е. В. Чулков, УФН **179**, 113 (2009).
35. И. А. Нечаев, Е. В. Чулков, ФТТ **51**, 713 (2009).